

УДК 539.213 : 539.212

## КВАЗИУПРУГОЕ РАССЕЯНИЕ СВЕТА В СТЕКЛООБРАЗНЫХ МАТЕРИАЛАХ

*B. Z. Гочияев, A. P. Соколов*

Обнаружено, что в стеклообразных материалах интенсивность квазиупрого рассеяния света и ее температурные изменения зависят от термической обработки и химического состава образцов. Выделена взаимосвязь между изменениями в спектрах квазипрого рассеяния и низкочастотного бозонного пика. Показано, что полученные результаты хорошо объясняются в рамках модели, учитывающей рассеяние света на сильно затухающими колебательных возбуждениях, дающих в спектре бозонный пик.

Изучению квазиупрого рассеяния света в различных материалах посвящено большое число работ [1-3]. Под квазиупругим рассеянием понимается уширение несмещенной компоненты в спектре рассеянного света. Оно возникает в жидкостях, суперионных проводниках, в сегнетоэлектриках вблизи фазового перехода и в ряде других случаев. Традиционное название квазиупрого рассеяния света в спектрах твердых тел — центральный пик (максимум его интенсивности находится при отстройке частоты  $\omega=0$ ).

Квазиупрое рассеяние света обнаружено и в спектрах стеклообразных материалов [3]. Было показано, что оно обладает аномальной температурной зависимостью интенсивности, а его спектр хорошо аппроксимируется суммой лоренцевских кривых [3-5]. Степень деполяризации центрального пика (ЦП) различна в стеклах разного химического состава. Однако во всех случаях она постоянна по спектру и равна степени деполяризации низкочастотного, так называемого бозонного, пика [3-8]. ЦП был изучен в широком ряде стеклообразных материалов [3-8], но его зависимость от специфики структуры, химического состава и термической обработки стекол была не исследована.

Для объяснения природы квазиупрого рассеяния света в стеклах был предложен ряд моделей, рассматривающих взаимодействие света с сильно затухающими колебательными возбуждениями [4], либо с двухуровневыми дефектами [9]. Проведенное в ряде работ [3-5, 10] сравнение экспериментальных результатов с этими моделями не позволило сделать однозначного выбора между ними.

В данной работе ставилась цель — выяснить, какой механизм приводит к появлению в спектре комбинационного рассеяния света (КРС) центрального пика, каковы его особенности в разных образцах. В работе обнаружены резкое отличие температурных изменений ЦП в стеклах разного химического состава и зависимость его интенсивности от термической предыстории образца. Показано, что вся совокупность полученных результатов описывается в рамках модели, учитывающей затухание акустических колебательных возбуждений. Этими затухающими колебаниями являются моды, дающие в спектре КРС стекол бозонный пик.

# 1. Модели, предложенные для описания квазиупругого рассеяния света в стеклах

Еще в середине 70-х годов было показано теоретически [11] и при  $T < 10 \text{ К}$  обнаружено экспериментально [3-5, 12], что в аморфных материалах интенсивность КРС в низкочастотной ( $\omega < 20 \text{ см}^{-1}$ ) области спектра растет по закону  $I/\omega (n(\omega) + 1) \sim \omega^2 (n(\omega))$  — функция распределения Бозе), а затем достигает максимума при некотором значении  $\omega = \omega_{\max}$ . Этот низкочастотный пик был обнаружен в спектрах КРС всех исследованных аморфных материалов и получил в литературе название бозонного. Было показано, что его спектральная форма универсальна в стеклообразных материалах разного химического состава [7, 13, 14].

При температурах  $T > 10 \text{ К}$  в области спектра  $\omega < \omega_{\max}$  обнаруживается избыточное рассеяние. Его вклад исчезающе мал при  $T \rightarrow 0$ , но значительно возрастает с увеличением температуры. Если спектр бозонного пика меняется с температурой  $\sim (n(\omega) + 1)$ , то амплитуда избыточного рассеяния растет значительно быстрее [3-6]. Это избыточное рассеяние было обнаружено в различных стеклообразных материалах и получило название квазиупругого рассеяния света [3-5].

В настоящее время известно несколько механизмов возникновения квазиупругого рассеяния света в твердых телах [1-3]. Однако проведенный в работах [3-5] анализ показал, что только два из них (взаимодействие света с двухуровневыми системами [9] или с сильно затухающими колебаниями [4]) могут дать столь интенсивный и широкий, как в стеклах, спектр квазиупругого рассеяния. Рассмотрим эти модели более подробно.

По аналогии с моделями, описывающими низкотемпературные аномалии термодинамических свойств стекол, Теодорокопулс и Джэкл предположили [9], что рассеяние света происходит на дефектах, которые имеют два метастабильных состояния с разной поляризацией  $a_{ij}$ , разделенных энергетическим барьером  $V$ . Переходы дефекта из одного метастабильного состояния в другое, происходящие с частотой  $\tau^{-1}(V)$ , должны приводить к возникновению в спектре КРС центрального пика, степень деполяризации которого зависит от  $\Delta a_{ij}$  и постоянна по спектру.

В отличие от модели [9] Винтерлинг предположил [4], что причиной возникновения ЦП является рассеяние света на колебательных возбуждениях, сильно затухающих в неупорядоченной среде. Нормированная интенсивность рассеянного света  $I_n = I/\omega (n(\omega) + 1)$  может быть записана следующим образом:

$$I_n \propto (1/\omega) \int C(k) \operatorname{Im} D(k, \omega) d^3k. \quad (1)$$

Здесь  $C(k)$  — константа взаимодействия колебательного возбуждения со светом, зависящая от поляризации падающего и рассеянного излучения;  $D(k, \omega)$  — функция упругого отклика, которая была выбрана в виде [4]

$$D(k, \omega) = [\omega^2 - \omega_0^2(k) + ig\omega\tau\omega_0^2(k)/(1 - i\omega\tau)]^{-1}, \quad (2)$$

$\tau$  — некоторое усредненное время релаксации;  $\omega_0(k) = v |k|$  — частота колебательного возбуждения;  $k$  — волновой вектор;  $v$  — скорость звука;  $g \ll 1$  — параметр, описывающий силу релаксационного процесса. Он связывает высокочастотный и низкочастотный пределы скорости звука [4]

$$v_\infty^2 = v_0^2(1 + g). \quad (3)$$

Следует отметить, что (2) аналогично выражению, используемому при описании мягкой моды и центрального пика в спектрах КРС сегнетоэлектриков вблизи фазового перехода [15, 16]. До настоящего времени оно не получило детального теоретического обоснования. Первые два члена в (2) описывают функцию отклика незатухающего колебания  $\omega_0(k)$ , а последний описывает взаимодействие интенсивностью  $g$  с некоторым каналом релаксации энергии колебательного возбуждения.

Из (1), (2) следует, что в случае достаточно большого времени релаксации  $\omega_0 \tau \ll 1$  в спектре рассеянного света должны возникать два пика: боковая мода с частотой  $\sim \omega_0$  и центральный пик с полушириной  $\tau^{-1}$  [4, 15, 16]. Степень деполяризации этих пиков одинакова и определяется константой  $C$ . В общем случае может существовать несколько релаксационных процессов со своими значениями  $g_i$  и  $\tau_i$ .

Обе рассмотренные модели предсказывают спектральную форму ЦП в виде суммы лоренцевских кривых с некоторым распределением  $P_i$  по временам релаксации  $\tau_i$  [4, 9]

$$I_n \propto A \sum_i P_i \tau_i (1 + \omega^2 \tau_i^2)^{-1} \quad (4)$$

и постоянным по спектру значением степени деполяризации. Однако температурная зависимость амплитуды ЦП в этих моделях различна: в модели двухуровневых состояний  $A \sim \Delta a_{ij}/kT$ , в модели затухающих колебаний  $A \sim g$ . Таким образом, исследования температурных изменений  $A$  позволяют сделать выбор в пользу одной из моделей. Температурную зависимость  $A$  можно проследить по изменениям интегральной интенсивности спектра (4)  $I^* = \int_0^\infty I_n d\omega$ . Она зависит только от значения  $A$  и не меняется при изменении  $\tau_i$ . При этом нет необходимости полностью восстанавливать спектральную форму центрального пика, измерения которой налагаются на значительные экспериментальные трудности, связанные с ограничениями в области низких частот спектральным разрешением приборов, а в области высоких частот вкладом бозонного пика.

## 2. Методика измерений и обработка результатов

Измерение спектров КРС проводилось в геометрии 90°-рассеяния на приборе ДФС-24. В качестве источника возбуждения использовался криптоновый лазер с длиной волны  $\lambda_b = 676$  нм. Спектральная ширина щелей составляла  $1-1.5$  см $^{-1}$ . Использовались поляризации ( $|| \perp$ ) и ( $\perp \perp$ ), когда вектор поля падающей волны параллелен либо перпендикулярен, а рассеянной — перпендикулярен плоскости рассеяния. Для лучшего спектрального разрешения использовалась дополнительная, не предусмотренная в конструкции прибора ДФС-24, диафрагма на выходной щели. Это позволило получить подавление лазерной линии на 4–8 порядков при отстройке от нее на 3–5 см $^{-1}$ . В результате уже в области спектра  $\sim 5$  см $^{-1}$  вклад от возбуждающей линии был пренебрежимо мал (менее 1–3 % от интенсивности исследуемого спектра).

Проводилась нормировка всех спектров с учетом температуры, частотного фактора рассеяния и спектральной функции прибора, откалиброванной с помощью ленточной лампы. Управление экспериментом, регистрация и последующая обработка спектров, а также расчет теоретических кривых проводились с использованием системы автоматизации научных исследований типа микроКАМАКлаб [17].

Для измерений использовались стекла разного химического состава, приготовленные в виде параллелепипедов с полированными гранями. Образец помещался в криостат, позволяющий поддерживать температуру от 100 до 470 К. Температура образца измерялась по соотношению стекловой и антистекловой компонент рассеянного света и контролировалась термошарой. Закаленные стекла As<sub>2</sub>S<sub>3</sub> получались охлаждением образцов на воздухе или в воде от температуры  $T=525$  К, при которой они предварительно выдерживались в течение 2 ч. Все измерения на закаленных образцах проводились при  $T=295$  К. Скорость распространения продольных упругих волн измерялась по стандартной ультразвуковой методике на частоте 50 МГц.

На рис. 1 приведены низкочастотные спектры КРС и степени деполяризации исследуемых стеклообразных материалов. Здесь и во всех дальнейших случаях приводятся спектры КРС, нормированные на температурный множитель ( $n(\omega) + 1$ ). В области  $\omega < 20 \text{ см}^{-1}$  наблюдаются температурные изменения нормированной интенсивности КРС, величина и знак

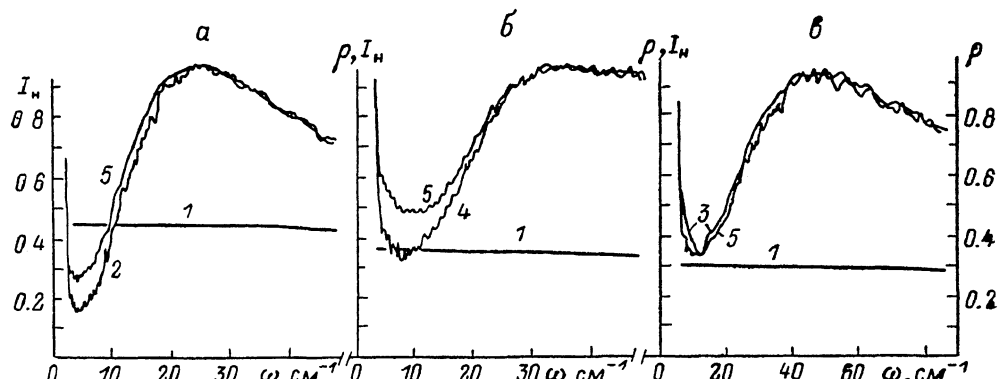


Рис. 1. Нормированная интенсивность низкочастотного спектра КРС  $I_{\parallel}$  (отн. ед.) и степень деполяризации  $\rho = I_{\parallel\perp}/I_{\perp\perp}$  (абс. ед.) (1) при  $T = 100$  (2),  $130$  (3),  $160$  (4),  $300$  К (5) в стеклах  $\text{As}_2\text{S}_3$  (а),  $\text{Bi}_4\text{Si}_3\text{O}_{12}$  (б),  $\text{SiO}_2$  (в).

которых зависят от химического состава образца. Степень деполяризации спектров во всех исследованных образцах не зависит от частоты и температуры и равна степени деполяризации в максимуме бозонного пика, что согласуется с известными ранее результатами [3-6]. Исследование спектров КРС закаленных стекол  $\text{As}_2\text{S}_3$  обнаружило значительное возра-

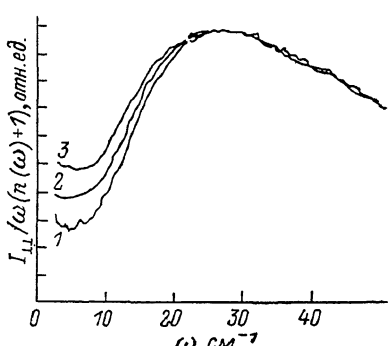


Рис. 2. Низкочастотные спектры КРС закаленных стекол  $\text{As}_2\text{S}_3$ .

1 — контрольный образец; 2 — образец, закаленный охлаждением на воздухе; 3 — образец, закаленный охлаждением в воде.

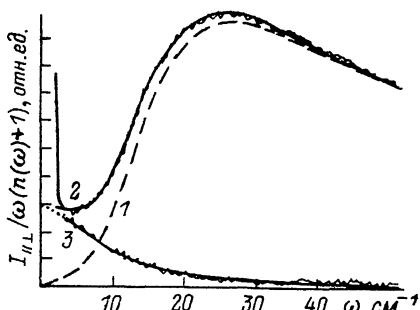


Рис. 3. Аппроксимация экспериментального спектра КРС  $\text{As}_2\text{S}_3$  при  $300$  К расчетной кривой бозонного пика (1), суммой расчетных кривых бозонного и центрального пиков (2); выделенный спектр квазиупругого рассеяния и его аппроксимация набором лоренцевских кривых (3).

стание интенсивности рассеяния в области  $\omega < 20 \text{ см}^{-1}$  с ростом скорости охлаждения образцов (рис. 2). Из рис. 1, 2 можно сделать вывод, что интегральная интенсивность ЦП в области  $\omega > 3-5 \text{ см}^{-1}$  увеличивается с ростом температуры в  $\text{As}_2\text{S}_3$  и  $\text{Bi}_4\text{Si}_3\text{O}_{12}$ , но уменьшается в  $\text{SiO}_2$ ; значительное увеличение  $I^*$  возникает и в закаленных стеклах  $\text{As}_2\text{S}_3$ .

Для более точного исследования изменений  $I^*$  необходимо выделить спектр квазиупругого рассеяния. Мы аппроксимировали исследуемый спектр суммой расчетных кривых центрального и бозонного пиков. В качестве расчетной кривой последнего мы использовали экспериментальный

спектр КРС стеклообразного  $\text{As}_2\text{S}_3$ , приведенный в [5]. Этот спектр был измерен при  $T=8$  К, когда вклад квазиупругого рассеяния пренебрежимо мал. Учитывая универсальность спектральной формы бозонного пика в стеклообразных материалах [7, 13, 14], мы применили эту кривую для аппроксимации экспериментальных спектров стекол другого химического состава. Кривая, аппроксимирующая бозонный пик, подбиралась по двум параметрам (амплитуде и частоте максимума  $\omega_{\max}$ ) из условий наименьшего среднеквадратичного отклонения от исследуемого спектра в области частот, где основной вклад приходится на бозонный пик ( $\omega \geqslant 0.75 \omega_{\max}$ ).

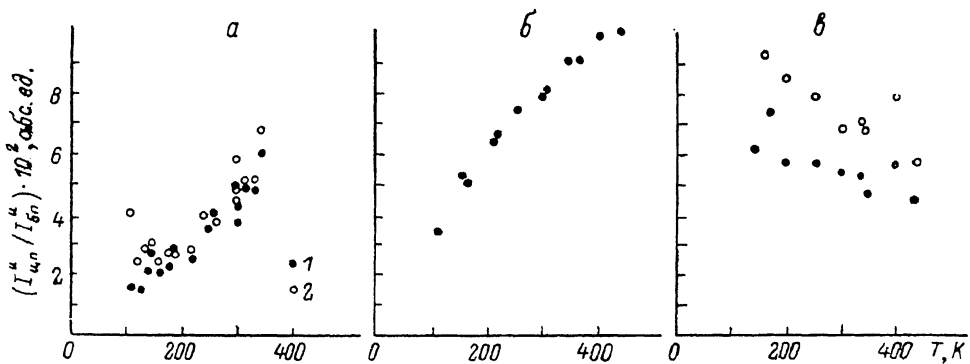


Рис. 4. Температурные зависимости интегральной интенсивности квазиупругого рассеяния света в стеклах  $\text{As}_2\text{S}_3$  (a),  $\text{Bi}_4\text{Si}_3\text{O}_{12}$  (б) и  $\text{SiO}_2$  (в).

1 — расчет при аппроксимации одной лоренцевской кривой, 2 — набором лоренцевских кривых.

Для аппроксимации спектра ЦП были выбраны два варианта. В первом каждый аппроксимировался лоренцевской кривой с параметрами, определявшимися из условий наименьшего среднеквадратичного отклонения суммарной расчетной кривой от экспериментального спектра; во втором — набором лоренцевских кривых с непрерывным распределением полуширины  $P_s$  (уравнение (4)). В качестве последнего выбиралось распределение времен релаксации в том виде и с теми параметрами, которые позволили наилучшим образом описать затухание ультразвуковых колебаний при  $T > 100$  К в  $\text{SiO}_2$  [18] и  $\text{As}_2\text{S}_3$  [19]. Оба использованных варианта дали хорошее согласие суммы расчетных кривых центрального и бозонного пиков с исследуемыми спектрами (рис. 3). Конечное спектральное разрешение прибора не позволило измерить интенсивность квазиупругого рассеяния света вблизи лазерной линии ( $\omega < 3 \text{ см}^{-1}$ ). Чтобы учесть вклад в интегральную интенсивность ЦП этой части спектра, мы экстраполировали его в области  $\omega = 0 \div 3 \text{ см}^{-1}$  той же расчетной кривой ЦП (рис. 3, 3). Выделенный таким образом вклад ЦП интегрировался по спектру.

Использование в качестве расчетной кривой бозонного пика литературных данных не совсем корректно, особенно для образцов другого химического состава. Однако очевидно, что возникающая в данном случае ошибка может изменить лишь само значение  $I^u$ , но не ее температурную

Величины  $I_{\text{пп}}^u / I_{\text{бп}}^u$ ,  $\omega_{\max}$ ,  $v$  в исследованных образцах

Образец	$I_{\text{пп}}^u / I_{\text{бп}}^u$ , %	$\omega_{\max}$ , $\text{см}^{-1}$	$v$ , $\text{км/с}$
Контрольный	5	27.4	2.576
Закаленный на воздухе	7.5	26.4	2.481
в воде	9.5	26.0	2.453

зависимость. На рис. 4 приведены полученные значения интегральной интенсивности квазиупругого рассеяния света, нормированные на интегральную интенсивность бозонного пика, которая практически не меняется с температурой [3, 5]. Видно, что второй вариант дает несколько большее значение интегральной интенсивности, однако ее температурная зависимость в этих двух случаях одинакова (рис. 4). Результаты расчета  $I_{\text{пп}}^*$  в закаленных стеклах, полученные аналогичным образом, приведены в таблице.

### 3. Обсуждение

Полученные в результате обработки экспериментальных спектров температурные зависимости интегральной интенсивности ЦП оказались различными в образцах разного химического состава. Ни в одном из трех исследованных составов не обнаружено зависимости  $I^* \sim 1/kT$ ; более того, в  $\text{As}_2\text{S}_3$  и  $\text{Bi}_4\text{Si}_3\text{O}_{12}$   $I^*$  растет с увеличением температуры. Это противоречит представлениям модели двухуровневых состояний [9].

В работе [10] обсуждаемая модель была использована для описания температурных изменений квазиупругого рассеяния света в стеклообразном  $\text{As}_2\text{S}_3$ . Аппроксимируя центральный пик одной лоренцевской кривой с полушириной  $\tau = \tau_0 \exp(V/kT)$ , авторы получили оценку параметров двухуровневых дефектов:  $\tau_0 = 4 \cdot 10^{-12}$  с,  $V = 0.015$  эВ. Приведенные значения  $\tau_0$  и  $V$  близки к значениям, полученным ультразвуковыми методами [19]. Однако, согласно модели [9], при таких параметрах нормированная интенсивность спектра па частоте  $\omega = 5 \text{ см}^{-1}$  должна иметь максимум при  $T > 150$  К. Это не согласуется ни с нашими результатами, ни с результатами [5], ни с результатами самих авторов [10]:  $I_n$  ( $5 \text{ см}^{-1}$ ) монотонно возрастает с увеличением температуры и не достигает максимума даже при  $T \sim 400$  К. Следовательно, и в работе [10] не получено согласия модели [9] с экспериментальными результатами.

К выводу о невозможности описать в рамках модели [9] температурную зависимость интенсивности ЦП в  $\text{As}_2\text{S}_3$  пришел и автор [5]. Он пытался аппроксимировать изменения  $I_n$  ( $5 \text{ см}^{-1}$ ) при различном выборе вида и параметров распределения, но не смог достичь хорошего согласия модели и эксперимента. Таким образом, модель [9] не позволяет описать температурные изменения центрального пика.

Перейдем к обсуждению модели [4]. Из (1)–(4) следует, что отношение интегральных интенсивностей спектров центрального пика и пика, соответствующего боковой моде  $\omega_0$ , таково:  $I_{\text{пп}}^*/I_{\omega_0}^* = g$ . Равенство степени деполяризации центрального и бозонного пиков, наблюдаемое в образцах разного химического состава, позволяет предположить, что в качестве моды  $\omega_0$  могут рассматриваться колебательные возбуждения, дающие вклад в бозонный пик. В этом случае температурные зависимости (рис. 4) определяются температурными изменениями  $g = I_{\text{пп}}^*/I_{\text{бп}}^*$ . Точные данные о величине и термических изменениях параметра  $g$  неизвестны. Однако, используя (3), можно получить оценку  $g$  из ультразвуковых измерений:  $g = (v_\infty/v_0)^2 - 1$ . Литературные данные по измерениям скорости звука в стеклообразном  $\text{Bi}_4\text{Si}_3\text{O}_{12}$  неизвестны. Но в стеклообразном  $\text{As}_2\text{S}_3$  с увеличением температуры скорость звука линейно уменьшается с наклоном  $(1/v)(dv/dT) \approx -(1-2) \cdot 10^{-4} \text{ К}^{-1}$  [19]. В стеклообразном  $\text{SiO}_2$  при  $T > 100$  К  $v$  линейно возрастает с наклоном  $(1/v)(dv/dT) \approx (1-2) \times 10^{-4} \text{ К}^{-1}$  [19]. В то же время положения максимумов высокочастотных ( $\omega > 200 \text{ см}^{-1}$ ) мод в спектрах КРС и соответственно  $v_\infty$  остаются постоянными. Следовательно, с увеличением температуры  $g$  должно расти со скоростью  $dg/dT \sim 2 \cdot 10^{-4} \text{ К}^{-1}$  в  $\text{As}_2\text{S}_3$  и уменьшаться со скоростью  $dg/dT \sim -2 \cdot 10^{-4} \text{ К}^{-1}$  в  $\text{SiO}_2$ . Аппроксимируя изменения  $I_{\text{пп}}^*/I_{\text{бп}}^*$  линейным законом (рис. 4), мы оценили наклон температурной зависимости:  $(d/dT)(I_{\text{пп}}^*/I_{\text{бп}}^*) = (1.22 \pm 0.33) \cdot 10^{-4} \text{ К}^{-1}$  для  $\text{As}_2\text{S}_3$ ,  $(2.0 \pm 0.3) \cdot 10^{-4} \text{ К}^{-1}$  для  $\text{Bi}_4\text{Si}_3\text{O}_{12}$  и  $-(0.44 \pm 0.27) \cdot 10^{-4} \text{ К}^{-1}$  для  $\text{SiO}_2$ . Таким образом, наблюдается хорошее согласие рассматриваемой модели с экспериментальными

результатами (рис. 4):  $g \sim I_{\text{пп}}^n / I_{\text{бп}}^n$  растет в  $\text{As}_2\text{S}_3$  и уменьшается в  $\text{SiO}_2$ ; более того,  $d\ln g/dT = (d\ln I_n)/(I_{\text{пп}}^n / I_{\text{бп}}^n)$  по порядку величины совпадает с ожидаемыми значениями  $\sim 10^{-4} \text{ K}^{-1}$ . В рамках модели [4] объясняется обнаруженная в  $\text{SiO}_2$  немонотонная зависимость  $I_n$  ( $5 \text{ см}^{-1}$ ) от температуры [20]: в области  $T < 100 \text{ K}$  с увеличением  $T$  наблюдается уменьшение  $v$  и соответственно рост  $I_n$ , а в области  $T > 100 \text{ K}$  наблюдается увеличение  $v$  и уменьшение  $I_n$  (рис. 5). Модель [4] позволяет объяснить и изменения квазиупругого рассеяния света, возникающие при закалке стекол  $\text{As}_2\text{S}_3$  (см. таблицу, рис. 2): уменьшение скорости звука сопровождается увеличением  $I^n$  центрального пика, при этом  $\Delta g \sim -\Delta v/v$ .

Для дальнейшего анализа полученных нами результатов обратимся к представлениям о мягкой моде при фазовом переходе в сегнетоэлектриках. Как известно [15, 16], в этом случае увеличение  $I^n$  сопровождается смягчением частоты боковой моды (мягкой моды). Анализ экспериментальных спектров показывает, что с ростом температуры происходит увеличение частоты максимума бозонного пика в  $\text{SiO}_2$  ( $1/\omega_{\text{max}} \times \times (d\omega_{\text{max}}/dT) = (1.1 \pm 0.4) \cdot 10^{-4} \text{ K}^{-1}$ ) и уменьшение в  $\text{As}_2\text{S}_3$  ( $1/\omega_{\text{max}} \times \times (d\omega_{\text{max}}/dT) = -(1.5 \pm 2) \cdot 10^{-4} \text{ K}^{-1}$ , в  $\text{Bi}_4\text{Si}_3\text{O}_{12} \sim -(0.7 \pm 0.75) \times 10^{-4} \text{ K}^{-1}$  (большая погрешность в определении  $d\omega_{\text{max}}/dT$  связана с незначительными изменениями  $\omega_{\text{max}}$  в исследованном диапазоне температур  $\Delta\omega_{\text{max}} \approx 1 \div 2 \text{ см}^{-1}$ , что сравнимо со спектральной шириной щелей при измерениях и много меньше ширины самого пика  $\sim 30 \div 50 \text{ см}^{-1}$ ). Таким образом, наблюдается аналогия между изменениями низкочастотного спектра КРС в стеклообразных материалах и поведением мягкой моды в сегнетоэлектриках: смягчение частоты максимума бозонного пика сопровождается увеличением интегральной интенсивности центрального пика. Это особенно ярко проявляется на примере закаленных стекол  $\text{As}_2\text{S}_3$  (см. таблицу, рис. 2).

Обнаруженная взаимосвязь между изменениями  $I^n$  центрального пика и  $\omega_{\text{max}}$  бозонного пика, а также равенство степени деполяризации этих пиков указывают на то, что квазиупругое рассеяние света в стеклообразных материалах возникает благодаря релаксации колебательных возбуждений, дающих в спектре КРС бозонный пик. Эти возбуждения связываются с квазилокальными колебаниями, возникающими благодаря неоднородностям структуры неупорядоченных материалов [5-7, 21, 22]. Следовательно, центральный пик несет информацию о времени жизни квазилокальных колебаний. Легко оценить (уравнение (2)), что оно составляет  $\sim \omega_{\text{max}} \tau/g \approx 10^2$  периодов собственных колебаний и понижается с увеличением степени разупорядоченности образцов (см. таблицу, рис. 2).

Таким образом, исследования низкочастотной области спектров КРС в стеклообразных материалах позволили обнаружить различие температурных изменений квазиупругого рассеяния света в образцах разного химического состава и влияние на его интенсивность термической обработки стекол. Показано, что предложенная в [9] модель, рассматривающая рассеяние света на дефектах, имеющих два устойчивых состояния, не позволяет описать всю совокупность полученных результатов. В то же время модель [4], учитывающая рассеяние света на сильно затухающих колебательных возбуждениях, хорошо согласуется с экспериментальными результатами. Она позволяет объяснить температурную зависимость интегральной интенсивности и величину степени деполяризации цен-

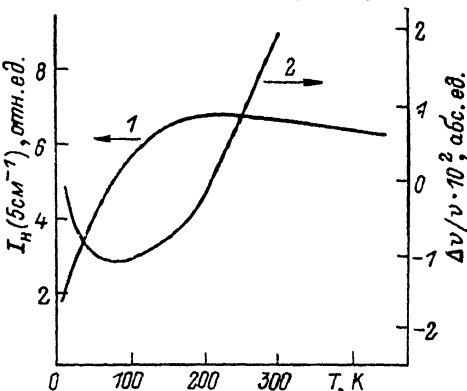


Рис. 5. Температурные зависимости изменений  $I_n$  ( $5 \text{ см}^{-1}$ ) (1) [20] и скорости звука (2) [18] в  $\text{SiO}_2$ .

трального пика, их зависимость от химического состава и термической обработки стеклообразных материалов. Анализ совокупности полученных результатов позволяет предположить, что квазиупругое рассеяние света (во всяком случае его высокочастотная часть,  $\omega < 3 \div 5 \text{ см}^{-1}$ ) в стеклообразных материалах связано с затуханием колебательных мод, дающих в спектре КРС бозонный пик.

Авторы выражают благодарность В. К. Малиновскому и В. Н. Новикову за полезные обсуждения, Б. И. Стурману за полезные замечания, а также В. А. Таркову за помощь в проведении ультразвуковых измерений.

#### Список литературы

- [1] Фабелинский И. Л. Молекулярное рассеяние света. М.: Наука, 1965. С. 511.
- [2] Трунов Н. Н., Бурсиан Э. В. // Сб. тр. ЛГПИ «Электроны и фононы в сегнетоэлектриках». Л., 1979. С. 31—42.
- [3] Jackle J. // Amorphous Solids: low-temperature properties / Ed. W. A. Phillips. Berlin: Springer—Verlag, 1981. P. 135—160.
- [4] Winterling G. // Phys. Rev. B. 1975. V. 12. N 6. P. 2432—2440.
- [5] Nemanich R. J. // Phys. Rev. B. 1977. V. 16. N 4. P. 1655—1674.
- [6] Lorosh J. et al. // J. Non-Cryst. Sol. 1984. V. 69. P. 1—25.
- [7] Malinovsky V. K., Sokolov A. P. // Sol. St. Comm. 1986. V. 57. N 9. P. 757—761.
- [8] Heiman D., Hellwarth R. W., Hamilton D. S. // J. Non-Cryst. Sol. 1979. V. 34. P. 63—79.
- [9] Theodorakopoulos N., Jackle J. // Phys. Rev. B. 1976. V. 14. N 6. P. 2637—2641.
- [10] Yasuoka H., Onari S., Arai T. // J. Non-Cryst. Sol. 1986. V. 88. P. 35—42.
- [11] Martin A. J., Brenig W. // Phys. St. Sol. (b). 1974. V. 64. P. 163—172.
- [12] Lannin J. S. // Sol. St. Comm. 1973. V. 12. N 9. P. 947—950.
- [13] Malinovsky V. K., Novikov V. N., Sokolov A. P. // J. Non-Cryst. Sol. 1987. V. 90. P. 485—488.
- [14] Malinovsky V. K., Novikov V. N., Sokolov A. P. // Phys. Lett. A. 1987. V. 123. N 1. P. 19—22.
- [15] Shapiro S. M. et al. // Phys. Rev. B. 1972. V. 6. N 11. P. 4332—4341.
- [16] Lee E., Chase L. L., Boatner L. A. // Phys. Rev. B. 1985. V. 31, N 3. P. 1438—1447.
- [17] Аникин А. А. и др. // Автометрия. 1984. № 5. С. 22—27.
- [18] Hunklinger S., Arnold W. // Physical Acoustics / Ed. W. P. Mason, R. N. Thurston. N. Y.: Academic, 1976. V. 12. P. 155.
- [19] Ng D., Sladek R. J. // Phys. Rev. B. 1975. V. 11. N 10. P. 4017—4029.
- [20] Winterling G., Arai T. // The physiks of non-crystalline solids / Ed. Frischat G. H. Aedermannsdorf; Tr. Tech. Publ., 1977. P. 580.
- [21] Duval E., Boukenter A., Champagnon B. // Phys. Rev. Lett. 1986. V. 46. N 19. P. 2052—2055.
- [22] Малиновский В. К., Новиков В. Н., Соколов А. П. // ФТТ. 1987. Т. 29. № 11. С. 3470—3471.

Институт автоматики и электрометрии  
СО АН СССР  
Новосибирск

Поступило в Редакцию  
2 февраля 1988 г.  
В окончательной редакции  
18 июля 1988 г.